



## بررسی پتانسیل روانگرایی خاک: مطالعه موردی ساختگاه پروژه آشیانه باند و پد بالگرد پایگاه امداد هوایی هلال احمر استان کردستان

فرزانه پارسایی<sup>۱</sup>، مینا رسولی<sup>۱</sup> و صفورا اسدی کپورچال<sup>۲</sup>

۱- دانشجوی کارشناسی ارشد گروه علوم خاک دانشکده علوم کشاورزی دانشگاه گیلان، ۲- استادیار گروه علوم خاک دانشگاه گیلان  
علوم کشاورزی دانشگاه گیلان

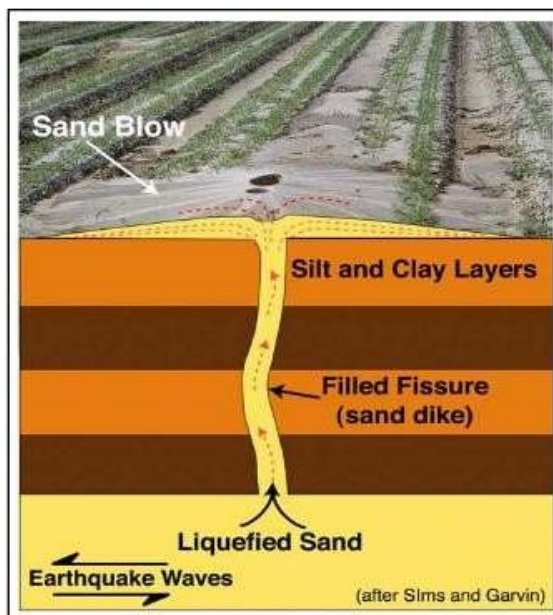
### چکیده

روانگرایی خاک پدیده‌ای است که در آن خاک اشباع در اثر تنفس شدیدی که به آن وارد می‌شود، مقاومت و سختی خود را به طور کامل از دست داده و به صورت سیالی غلیظ عمل می‌کند. هدف از انجام این پژوهش ارزیابی پتانسیل روانگرایی خاک در ساختگاه پروژه آشیانه باند و پد بالگرد پایگاه امداد هوایی هلال احمر استان کردستان بود. بدین منظور پس از انجام بررسی‌های میدانی، تعداد ۳ گمانه حفر شده و آزمایش‌های طبقه‌بندی خاک و تعیین ویژگی‌های مکانیکی و فیزیکی خاک انجام شد. نتایج آزمایش‌های دانه‌بندی و SPT و مقایسه آن‌ها با منحنی‌های مربوطه نشان داد که در منطقه مورد مطالعه امکان وقوع پدیده روانگرایی بسیار ضعیف می‌باشد.

واژه‌های کلیدی: حد روانی، خاصیت خمیری، روانگرایی خاک، مقاومت برشی

### مقدمه

افزایش فشار آب منفذی در خاک‌های ماسه‌ای و لایه‌های سست اشباع در هنگام زلزله بر اثر تمایل خاک به کاهش حجم منجر به کاهش تنفس همه جانبه در خاک می‌شود. در این حالت مقاومت برشی خاک بهشت کاهش می‌یابد و به مقدار صفر نزدیک می‌شود. به این پدیده روانگرایی می‌گویند. این پدیده خود را به صورت نشسته‌های قابل توجه، ایجاد ترک و باز شدگی، فوران گل و آب، جوشش ماسه و تراویش آب از خلل و فرج موجود در سطح زمین نشان می‌دهد (Heider et al., ۲۰۱۴). شکل ۱ نمونه‌ای از جوشش ماسه را به صورت واقعی به همراه مکانیزم رخداد آن نشان می‌دهد. خاک روانگرایی شده به صورت سیالی غلیظ عمل کرده و ممکن است سبب جابجایی‌های بزرگ در زمین شود. وضعیت روانگرایی تازه‌مانی که زهکش شدن اضافه فشار آب منفذی و برقراری تماس بین ذرات خاک، ادامه پیدا می‌کند (Chen et al., ۲۰۱۵).





شکل ۱- نمونه‌ای از جوشش ماسه به همراه مکانیزم ایجاد آن

در اثر این فرآیند برخی لایه‌ها در زمین متراکم شده و نشسته‌های غالباً نامتفقان بر روی زمین مشاهده می‌شود. از عوامل مؤثر بر وقوع روانگرایی می‌توان به بزرگای زلزله و مدت‌زمان آن، تخلخل، تراکم نسبی، درصد ریزدانه و نشانه خمیری خاک و دامنه تنفس برشی اعمالی پر توده خاک در زمان زلزله اشاره کرد (Seed and Idriss, ۱۹۷۱). بر اثر روانگرایی پستر طی زلزله، علی‌رغم سالم ماندن اسکلت سازه، گسیختگی و سقوط ساختمان‌ها رخ می‌دهد. سید و همکاران نشان دادند افزایش ریزدانه سبب کاهش استعداد روانگرایی خاک می‌گردد. رفتار خاک تحت اعمال بارهای تناوبی با افزایش پلاستیسیته ممکن است متفاوت باشد (Seed et al., ۱۹۸۵).

ایشیهارا و کوسکی مشاهده کردند که مقاومت تناوبی خاک در صورت کم بودن محدوده پلاستیسیته (کمتر از ۱۰۰ تغییری نمی‌کند، لیکن برای بیش از آن افزایش می‌یابد (Ishihara and Koseki, ۱۹۸۹)). روش اصلاح شده سید و همکاران و آئین‌نامه طراحی پل‌های شاهراهی ژاپن برای ارزیابی روانگرایی خاک با استفاده از آزمایش نفوذ استاندارد (SPT) به دلیل اعتبار و معمول بودن آن‌ها در مطالعات روانگرایی در ایران و سایر کشورها به کارگرفته شده است (جعفری، ۱۳۸۰). از جمله پژوهش‌های انجام شده در زمینه روانگرایی ارزیابی روانگرایی در خاک‌های رسی سایت اجرایی ایستگاه پیمازن جزیره مینو بود و نتایج حاصله نشان داد وضعیت خاک محل احداث سازه در حالت بینایینی قراردادشته و نمی‌توان با قطعیت پیرامون روانگرایی در خاک محل سازه ایستگاه پیمازن جزیره مینو اظهار نظر کرد (انصاری، ۱۳۸۹). در پژوهشی دیگر سلامت‌پور و همکاران استعداد روانگرایی ماسه بابلسر با استفاده از آزمایش‌های سه محوری مونوتونیکی تحت شرایط همسان و ناهمسان را ارزیابی کردند. نتایج حاکی از آن بود که وجود و یا افزایش پارامتر برشی یا اعمال تنفس برشی اولیه باعث کاهش پتانسیل روانگرایی استاتیکی در ماسه تمیز بد دانه بندی شده بابلسر خواهد شد (سلامت‌پور و همکاران، ۱۳۹۲).

تا کنون چندین مطالعه پیرامون زمین شناسی زون سنندج-سیرجان انجام شده است (Ghasemi and Poor Kermani, ۲۰۰۹; Moaazeni and Jamshidi Badr ۲۰۰۸؛ Masoudi and Jamshidi Badr ۲۰۰۴). هدف از انجام این پژوهش ارزیابی پتانسیل روانگرایی خاک در ساختگاه پروژه آشیانه باند و پد بالگرد پایگاه امداد هوایی هلال احمر واقع در منطقه مذکور بود.

#### مواد و روش‌ها

استان کردستان تحت دو عامل بارز خشکی تابستان و سرمای زمستان کوهستان‌ها قرار داشته و بخش وسیعی از استان در شرایط آب و هوای کوهستانی سرد و مدیترانه‌ای با باران بهاره قرار دارد. آب و هوای کردستان در تجزیه خاک، رویش گیاه، گسترش علفزار، شرایط مساعد توسعه دیم‌زار، گسترش جنگل و باغ داری نقشی مهم و تعیین کننده دارد. به دلیل وجود دیواره کوهستانی ناحیه که از نفوذ جریان‌هایی که از غرب به فلات وارد می‌شود، جلوگیری می‌کند، میزان بارندگی در استان کردستان از غرب به شرق کاهش می‌یابد. استان کردستان از دو نوع آب و هوای متمایز برخوردار بوده به طوری که در نواحی کوهستانی و دشت‌های مرتفع آب و هوای معتدل بری با زمستان‌های بسیار سرد و در دره‌ها و محدوده‌هایی از قلمرو غربی استان آب و هوای معتدل است. منطقه مورد بررسی در زون سنندج-سیرجان قرار دارد. زون ساختاری سنندج-سیرجان در شمال شرق گسل اصلی معکوس زاگرس قرارگرفته که این کمربند توسط اشتوکلین در سال ۱۹۶۸ به این نام نهاده شده است (Stocklin, ۱۹۶۸).

زون سنندج-سیرجان به صورت یک نوار باریک بین شهرهای سیرجان و اسفندق در جنوب شرقی و ارومیه و سنندج در شمال غربی قرار دارد و در ادامه به کمربند کوهزایی Taurus در ترکیه می‌پیوندد. این کمربند توسط یک زون باریک (بیشتر از چند کیلومتر) از گسل تراستی پرشیب جدا شده است. ویژگی‌های سنگی و ساختاری سنندج-سیرجان یک گودی ژرف (Trough) و یا کافت میانه بلوك در سپر پرکامبرین ایران و عربستان است. از همین رو ویژگی‌های زمین‌شناختی آن با پهنه‌های مجاور تفاوت‌های آشکار دارد. درازای زون سنندج-سیرجان حدود ۱۵۰ کیلومتر و پهنای آن ۱۵۰ تا ۲۵۰ کیلومتر است که از غرب دریاچه ارومیه آغاز شده و در یک راستای شمال غربی-جنوب شرقی تا گسل میناب در شمال بند عباس ادامه می‌یابد (Alavi, ۱۹۹۴). بر اساس تقسیم‌بندی جدید این کمربند به سه زیر مجموعه کمربند همدان-تبریز، سقر-بانه و کمربند آتش‌فشانی کرتاسه سنندج تقسیم شده است که شهر سقز در کمربند سقز قرارگرفته است. این کمربند قسمتی از زون سنندج-سیرجان است که بین نهادن و ارومیه قرارگرفته است. عرض این کمربند ۲۰-۱۵ و طول آن ۲۰۰ تا ۳۰۰ کیلومتر بوده و دارای امتداد شمال غربی-جنوب شرقی می‌باشد (Azizi and Moinevaziri, ۲۰۰۹).

به منظور شناسایی لایه‌های خاک، ۳ گمانه در زمین پروژه مورد نظر حفر گردید. برای انجام عملیات حفاری از روش حفاری دورانی با مغزه گیر پیوسته استفاده شد. نمونه‌های دست‌نخورده و نمونه‌های گرفته شده از آزمایش‌های نفوذ استاندارد با رعایت شرایط لازم برای انجام آزمایش‌های مربوط به طبقه‌بندی خاک و تعیین خصوصیات مکانیکی و فیزیکی از جمله آزمایش‌های درصد رطوبت خاک، دانه‌بندی به روش الک، هیدرومتری، چگالی نسبی، حدود آتریبرگ (شامل حد روانی به روش کاساگراند و حد خمیری به روش تهیه فتیله) (Klute, ۱۹۸۶) و سایر آزمایش‌های مربوط در اعمق مشخص به آزمایشگاه ارسال شد.

با توجه به اینکه گام اول در ارزیابی پتانسیل روانگرایی خاک‌ها بررسی استعداد روانگرایی در خاک محل مورد آزمایش است بنابراین استعداد روانگرایی کلیه نمونه‌ها مورد بررسی قرار گرفت. همچنین آزمایش ضربه و نفوذ استاندارد SPT در اعمق مختلف گمانه‌ها انجام گردید. بدین صورت که با شمارش تعداد ضربات برای نفوذ نمونه‌گیری استاندارد به طول ۴۵ سانتی‌متر در هر نقطه به وسیله چکش به وزن ۵/۶۳ کیلوگرم با ارتقای سقوط ۷۶ سانتی‌متر میزان مقاومت خاک در هر نقطه مشخص شد. تعداد ضربات برای سه

مرحله نفوذ ۱۵ سانتی‌متری شمارش شده و عدد حاصل برای آن عمق، مجموع تعداد ضربات چکش برای نفوذ ۳۰ سانتی‌متر از طول نمونه گیر می‌باشد.

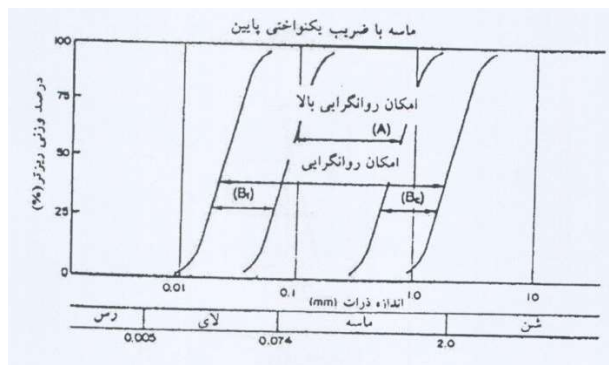
### نتایج و بحث

بر اساس نتایج به دست آمده متوسط حد مایع (LL)، حد خمیری (PL) و دامنه خمیری (PI) لایه‌ها در گمانه اول به ترتیب ۲۱، ۲۶ و ۵، در گمانه دوم به ترتیب ۲۶، ۱۷ و ۹ و در گمانه سوم به ترتیب ۲۸، ۱۸ و ۱۰ درصد می‌باشد. مدل‌هایی برای ارزیابی پتانسیل روانگرایی وجود دارد که مهم‌ترین آنها عبارتند از:

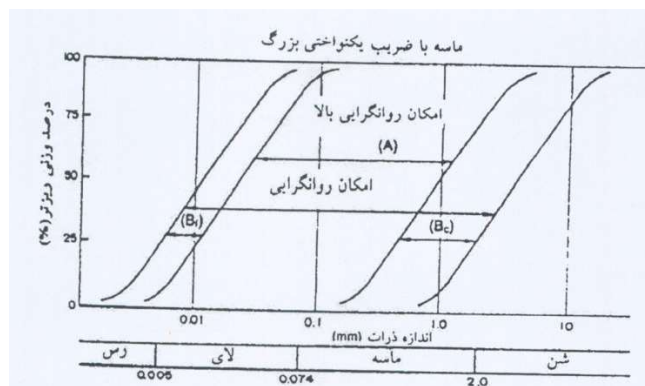
ارزیابی پتانسیل روانگرایی بر اساس مقایسه تنש‌های ایجاد شده بر اثر زلزله و مقاومت خاک  
ارزیابی پتانسیل روانگرایی بر اساس بزرگی زلزله به ریشه و فاصله کانونی  
ارزیابی پتانسیل روانگرایی بر اساس آزمایشات سه محوری سیکلی

ارزیابی پتانسیل روانگرایی بر اساس دانه‌بندی و عدد SPT در این پژوهش ارزیابی پتانسیل روانگرایی بر اساس دانه‌بندی و عدد SPT انجام شد. بر اساس استانداردهای طراحی پی‌های ساختمان زبان ۱۹۷۴، شرایطی که تحت آن یک خاک روانگرا می‌شود و باید مورد ارزیابی قرار گیرد به شرح زیر لست:

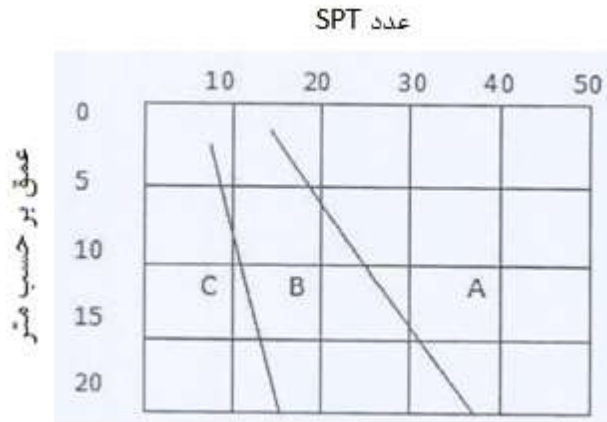
لایه خاک ماسه اشباع بین سطح زمین تا ۲۰ متری قرار داشته باشد  
وجود لایه‌های ماسه با دانه‌بندی یکنواخت و متوسط  
کمتر از ۵ درصد سیلت و رس آن کمتر از ۱ درصد باشد و به ویژه خاک تقریباً با دانه‌های متوسط بین ۰ تا ۱۵/۰ میلی‌متر باشد  
درجه تراکم پایین و مقدار SPT در شکل ۴ در ناحیه B یا C واقع شده باشد.



شکل ۲ - ارزیابی امکان روانگرایی خاک با استفاده از منحنی دانه‌بندی (ماسه با ضریب یکنواختی پایین)



شکل ۳ - ارزیابی امکان روانگرایی خاک با استفاده از منحنی دانه‌بندی (ماسه با ضریب یکنواختی بالا)



شکل ۴- قابلیت روانگرایی و عدد SPT

در این پژوهش با توجه به بررسی‌های میدانی صورت گرفته و نتایج دانه‌بندی (بر اساس شکل‌های ۲ و ۳) و آزمایش‌های SPT انجام شده (بر اساس شکل ۴) امکان وقوع روانگرایی خاک در منطقه مورد مطالعه بسیار ضعیف بود.

#### منابع

- انصاری، ز. ۱۳۸۹. ارزیابی پتانسیل روانگرایی در خاکهای رسی مطالعه موردي: سایت اجرایی ایستگاه پمپاژ جزیره مینو. پنجمین کنگره ملی مهندسی عمران، دانشگاه فردوسی مشهد، مشهد.
- جعفری، م.ک. ۱۳۸۰. گزارش نهایی مطالعات ریزپهنه بندی لرزه ای جنوب تهران، پژوهشگاه بین المللی زلزله شناسی و مهندسی زلزله (IIEES)، شورای پژوهش‌های علمی کشور، کمیسیون عمران و زلزله، وزارت علوم، تحقیقات و فناوری، برنامه ملی تحقیقات(شماره ی ثبت ۱۴۶، ۵۰۱۷) صفحه.
- سلامت پور، س..، سلامت پور، س..، جعفریان، ی. و قربانی، ع. ۱۳۹۲. ارزیابی استعداد روانگرایی ماسه با پلیمر با استفاده از آزمایش های سه محوری مونوتونیکی تحت شرایط همسان و ناهمسان. هفتمین کنگره ملی مهندسی عمران. دانشگاه سیستان و بلوچستان، زاهدان.
- Alavi M. ۱۹۹۴. Tectonics of the Zagros orogenic belt of Iran: New data and interpretations. *Tectonophysics*, ۲۲۹ (۳-۴): ۲۱۱-۲۳۸.
- Azizi H. and Moinevaziri H. ۲۰۰۹. Review of the tectonic setting of Cretaceous to Quaternary volcanism in northwest Iran; *Journal of Geodynamics*, ۴۷: ۱۶۷-۱۷۹.
- Chen J., O-tani H. and Hori M. ۲۰۱۵. Stability analysis of soil liquefaction using a finite element method based on particle discretization scheme. *Computers and geotechnics*, ۶۷: ۶۴-۷۲.
- Ghasemi A. and Poor Kermani M. ۲۰۰۹. Structure of the soresat metamorphic complex, north Sanandaj-Sirjan zone, northwest Iran. *Australian Journal of Earth Sciences: An International Geoscience Journal of the Geological Society of Australia*, ۵۶: ۹۳۹-۹۴۹.
- Heider Y., Avci O., Markert B. and Ehlers w. ۲۰۱۴. The dynamic response of fluid-saturated porous materials with application to seismically induced soil liquefaction. *Soil Dynamics and Earthquake Engineering*, ۶۳: ۱۲۰-۱۳۷.
- Ishihara K. and Koseki J. ۱۹۸۹. Cyclic Shear Strength of Fines-Containing Sands. *Earthquake and Geotechnical Engng.*, Japanese Society of Soil Mechanics and Foundation Engineering, Tokyo, ۱۰۱-۱۰۶.
- Klute A. ۱۹۸۶. Methods of Soil Analysis. Part 1. Physical and Mineralogical Methods. Soil Science Society of America, Wisconsin, USA.
- Masoudi F. and Jamshidi Badr M. ۲۰۰۸. Biotite and hornblende composition used to investigate the nature and thermobarometry of pichagchi pluton, northwest Sanandaj-Sirjan metamorphic belt, Iran. *Journal of Sciences, Islamic Republic of Iran* ۱۹(۴): ۳۲۹-۳۳۸.



## چهاردهمین کنگره علوم خاک ایران - فیزیک خاک و رابطه آب، خاک و گیاه

Moazzen M. ۲۰۰۴. Chlorite-chloritoid-garnet equilibria and geothermometry in the Sanandaj-Sirjan metamorphic belt, southern IRAN. Iranian Journal of Science and Technology, Transaction A, ۲۸: ۶۵-۷۸.

Seed H.B. and Idriss I.M. ۱۹۷۱. Simplified Procedure for Evaluating Soil Liquefaction Potential. Journal of the soil mechanics and foundations division, ۷۹(۹): ۱۲۴۹-۱۲۷۳.

Seed H.B., Tokimatsu K., Harder L. and Chung R. ۱۹۸۵. Influence of SPT Procedures in Soil Liquefaction Resistance Evaluations. Journal of geotechnical engineering, ۱۱۱(۱۲): ۱۴۲۵-۱۴۴۵.

Stocklin J. ۱۹۶۸. Structural history and tectonics of Iran. Bulletin of the American Association of Petroleum Geologists, ۵۲: ۱۲۲۹-۱۲۵۸.

### Abstract

Soil liquefaction describes a phenomenon where by a saturated or partially saturated soil substantially loses strength and stiffness in response to an applied stress, causing it to behave like a viscous fluid. The objective of this study was to investigate the soil liquefaction potential in the project site of band hangar and helicopter pad of Red Crescent in Kurdistan province. For this purpose, after field studies, three boreholes were drilled and soil classification experiments and determination of mechanical and physical properties of soils were done. The results of soil particle size distribution and SPT and their comparison with related curve indicated that possibility of liquefaction phenomenon in the region is very weak